

堆積軟岩の強度特性と破壊規準

京都大学防災研究所

正会員○足立紀尚

Univ. of Western Ontario

小川豊和

1. はじめに

軟岩を基礎岩盤とする橋梁や軟岩中のトンネル掘削など土木構造物の建設が計画された際実施されることが増加して、軟岩に関する研究が活発化している。筆者らは理想的な堆積軟岩として多孔質凝灰岩である大谷石を選択し、実験を行うことにより、軟岩の力学特性の解明に努め、その弾・塑性挙動やダイレーティニ特徴、それに時効依存性について論じたが、さらに硬岩はかどり土質材料と定性的には同じく同様の力学挙動を示すことを確かめた。^{1), 2)}

本研究はこれまでと同様に大谷石を用い、初期圧を $0 \sim 200 \text{ kg/cm}^2$ の範囲で変えて三軸圧縮試験を行い、その力学特性を特に強度について示し最大ひずみと残留強度双方に対する破壊規準を提案する。これは強度が拘束圧(直応力)と非線形関係にあるため Mohr-Coulomb 型(拘着力 C' 、内摩擦角 $\phi' = 37^\circ$)の破壊規準では表現困難の岩石材料に対して Hobbs や Hodge などが提唱しておらず、応力ひずみ関係を付加することによって軟岩の破壊規準として拡張したものである。

2. 試料と実験方法

試料は多孔質凝灰岩である大谷石で、表-1にその物理諸量を示しておくる。また、試料はすべて水で飽和させたものを用いた。実験は所定の側圧 σ_3 で等方圧密した後側圧を一定に保ち、排水せながら非排水条件でひずみ制御によつて。用ひたせん断速度(初期ひずみ速度 $\dot{\epsilon}_1$)は $\dot{\epsilon}_1 = 0.025\%/\text{min}$ である。なお、実験はすべて 3 kg/cm^2 の $\sigma_1 = 3\text{ヤル・バツフフレッシャー}$ を適用した。

表-1

間隙比	e	0.72
間隙率	n	0.42
乾燥密度	γ_d	1.44
湿潤密度	γ_w	1.86
含水比	w	29.2%
粒子比重	G_s	2.68

3. 排水試験による応力-ひずみ関係

ここには排水試験結果のみを示す。圧密排水試験は $\sigma_3 = 0 \sim 200 \text{ kg/cm}^2$ の範囲の側圧で行つた。図-1 はその結果求まる軸差応力 ($\sigma_1 - \sigma_3$) と偏差ひずみ ϵ_1 ($\epsilon_1 = \epsilon_1 - \epsilon_3/3$, $\epsilon_1 > \epsilon_3$: 軸ひずみ, ϵ_3 : 併槽ひずみ) との関係である。また、せん断変形過程における併槽変化的様子を図-2 に併槽ひずみ ϵ_3 と偏差ひずみの関係として示しておる。これら結果得られた結論は

- (1). ある拘束圧(この軟岩に対しては $\sigma_3' = 20 \text{ kg/cm}^2$)以下では過圧密土と同様の挙動を示す。すなわち、せん断するにしたがつて応力は増加して最大強度まで至るが、その後応力は減少し軟じ最終的には残留強度状態に達する。このせん断変形過程において、併槽は初期に圧縮を示すが、最大強度まで至る直前から膨張に転じるが、残留強度状態に近づくにつれて次第に膨張強度合は減少

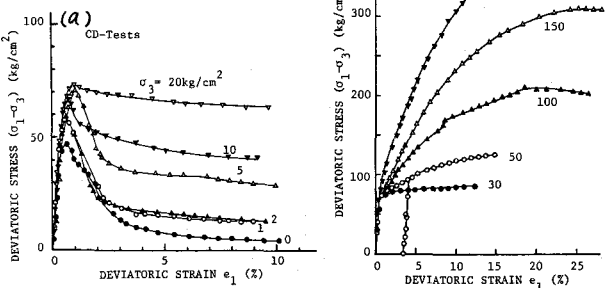


図-1. 軸差応力-偏差ひずみ関係, (a) $\sigma_3 = 0 \sim 20 \text{ kg/cm}^2$, (b) $\sigma_3 = 30 \sim 200 \text{ kg/cm}^2$

す。

- (2). 一方、その拘束圧以上では軽く過圧密されたり、正規圧密状態による土と同様の力学挙動を示す。すなわち、せん断ひずみ応力は单调に増大し最大強度点へ達するが、それは残留強度状態でもある。このせん断過程においては引張圧縮のケガが生じ、最大=残留強度状態においてはやはり引張強度はそれ以上生じにくくなる。また、図-2(a), (c)で明らかなように、 $\sigma_3 = 100 \text{ kg/cm}^2$ 以上では $v - e$ 実験結果拘束圧に影響を受けて一定の実験となり、正規圧密土の変形挙動とほとんど同じである。

- (3). 最大強度、残留強度双方とも拘束圧の増大とともにあって増加する。

- (4). 残留強度状態は有効応力も作構も変化せずに、単にせん断变形が継続する状態である。

- (5). 弾性変形を表すせん断弾性係数 G は図-1の応力-ひずみ関係の初期の直線部から $G = (\sigma_1 - \sigma_3)/3e_1$ として求められる。この材料に対しては $G = 3.5 \sim 6.5 \times 10^3 \text{ kg/cm}^2$ と拘束圧とともに大きくなる傾向にある。一方、併種弹性係数 K は二種の三軸試験 (σ_3 を一定、軸方向応力 σ_1 を増加) では軸方向応力 σ_1 の $1/3$ 以下平均有効応力 σ_{av} が増加することによって $(\sigma_1 - \sigma_3)$ と併種ひずみ v の因を求めて、やがて初期のその関係の直線部から $K = (\sigma_1 - \sigma_3)/3v$ として決定され、その値は $K = 3 \sim 8 \times 10^3 \text{ kg/cm}^2$ がこの材料に対する値である。なお、ヤング率 E とボアソン比 ν は G, K とそれから $E = 9KG/(3K+G)$, $\nu = (3K-2G)/(2(3K+G))$ の関係にあるからこれらより計算できる。ところでボアソン比 ν はその定義から $2(1+\nu)/(3(1-\nu)) = e_1/v$ の関係にあるから、図-2(b), (c)にて $v \sim e_1$ 実験の初期の比例部分で $e_1/v = 1$ が成立するので、これを用いて $\nu = 1/8 = 0.125$ となり、先の実験式から求まる値の平均値には等しい。

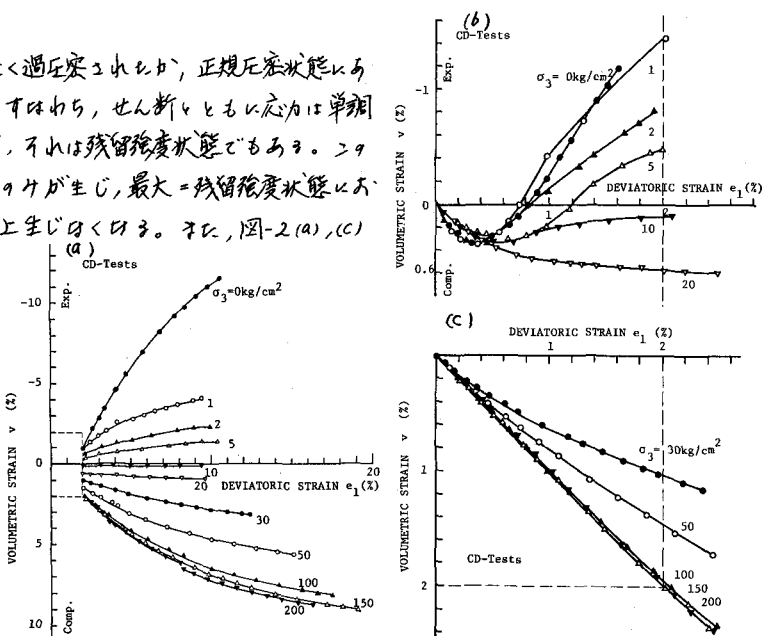


図-2. 併種ひずみ-偏差ひずみ関係、(a)ひずみが大きいときの実験、(b)低拘束圧における初期段階 (c)高拘束圧における初期段階

4. 有効応力表示

- このような飽和軟岩での土質力学で用いられる有効応力が有効であることを一例をもって示しておく。図-3は最大ひずみ-残留強度と拘束圧との関係を全応力と有効応力を用いて示したものである。図中の白印は排水試験結果であるが、双方の表示によると差はない。ところが、黒印で示す非排水試験結果は差が明らかである。すなわち、図-3(b)のように有効応力によれば強度条件はさらず強度と拘束圧の関係は一義的に決定される。ところで、図-3(a)は次のように力

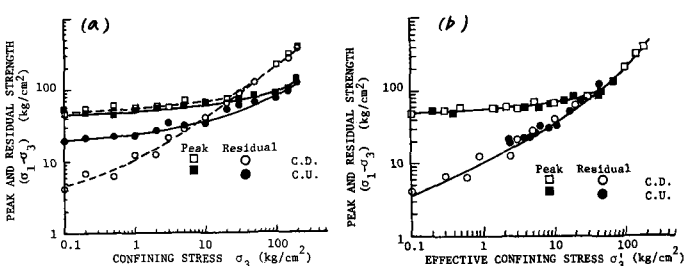


図-3 最大ひずみ-残留強度と拘束圧との関係
(a)全応力表示、(b)有効応力表示

読みかどる。同一の拘束圧の下でせん断を行ふと、低拘束圧下においては併積が影響するから非排水条件であると間隙水压は負、すなわち有効応力は増加するためとくに残留強度は排水条件よりも大となる値を示してい。一方、高拘束圧ではさうしたく違つたことが生じて。シニニヒ体拘束圧が小さいとき軟岩の強度は排水条件の満足度も長期強度が排水条件とひき残り強度よりも大きくなることを意味して。シニニヒは条件にあとは設計に用ひる強度は排水試験結果も用ひることが大切であることを示して。

5. せん断過程の有効応力ひずみ併積変化経路

せん断過程における有効応力経路と平均有効応力-併積ひずみ関係を図-4、図-5に低拘束圧と高拘束圧に分けてそれだけ示す。

まず、図-4(a)、図-5(a)の細い実線は非排水試験時、ならびに排水試験時の有効応力経路を示して。低拘束圧下では、せん断によって白印で示す最大強度が達した後に、ひずみ軟化により応力は次第に減少して最終的にはO印で表される残り強度状態に達する。この間、排水条件においては併積膨張が生ずる様子を図-4(b)に示してある。

さて、高拘束圧下では図-5に示すように最大=残り強度となり、排水条件のもとでは併積の圧縮が生ずるが、最大=残り強度状態において、平均有効応力 σ_m' と併積ひずみ ν 間に一義的関係があることを示している。すなわち、材料に対する最大=残り強度は $\sigma_m' = 50 \text{ kg/cm}^2$ 以上である。

図-4、図-5に示す太い実線は残りひずみ高拘束圧下では残り=最大強度線を示し、太い実線は低拘束圧下での最大強度線を示している。このように最大強度はもとより、残り強度も有効拘束圧 σ_m' と非線形関係になって、Mohr-Coulomb型の破壊標準で表わすことになります。よしんば近似的に強度定数 C' 、 ϕ' を決定して設計に用ひると危険側の結果を予測することができます。 $\nu = \nu_0 + \phi' \sigma_m'$ は破壊標準は成り立つことになります。

また、図-5(b)中の太い実線は等方圧密時の応力-併積ひずみ関係を示して。

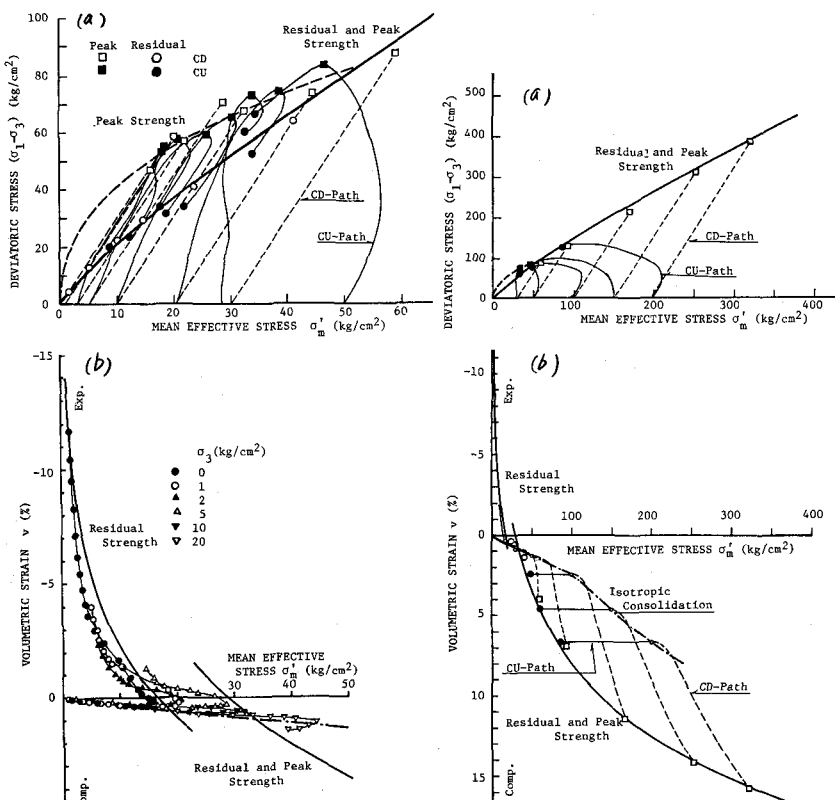


図-4. 低拘束圧下における(a)有効応力経路、(b)平均応力-併積ひずみ関係

図-5. 高拘束圧下における(a)有効応力経路、(b)平均応力-併積ひずみ関係

6. 破壊規準

最大せんひ、残留強度と平均有効応力実験と両対数紙上に、またそのときの併積ひずみと平均有効応力との関係を両対数紙上に求めたものが図-6、図-7である。

まず、最大強度に対する $\sigma_m' \leq 50 \text{ kg/cm}^2$ で図-6(a)の実線で表わす直線関係がみるから次式で表わせよう。

$$(\sigma/\rho'_0)^{\text{peak}} = \alpha_p (\rho'/\rho'_0)^{\beta_p} \quad (1)$$

このとき併積変化は図-6(b)の(3)と算定結果上にはじめから

$$\nu_{\text{peak}} = C_s \log (\rho'/\rho'_0) \quad (2)$$

さて、 $\sigma_m' > 50 \text{ kg/cm}^2$ では強度、併積変化ともに次に論ずる残留強度状態に至るから

$$(\sigma/\rho'_0)^{\text{peak}} = (\sigma/\rho'_0)^{\text{residual}} \quad (3)$$

$$\nu_{\text{peak}} = \nu_{\text{residual}} \quad (4)$$

となる。

残留強度に対する応力実験は図-7(a)の(3)とすべての圧力範囲において一直線で表わせることがわかる。すなはち、

$$(\sigma/\rho'_0)^{\text{residual}} = \alpha_R (\rho'/\rho'_0)^{\beta_R} \quad (5)$$

$\beta = 3$ が、併積変化の方は図-7(b)の(3)と拘束圧の大小によらず実験3次元で異なり式で表わせよう。

$$\nu_{\text{residual}} = C_R \log (\rho'/\rho'_0) - 12.3 \quad (\%) \quad (6)$$

$$\nu_{\text{residual}} = C_C \log (\rho'/\rho'_0) - 22.1 \quad (\%) \quad (7)$$

以上が二つに提唱する破壊規準であるが、(1), (5)式の場合の定数は $\rho' = \sigma_m' = 1 \text{ kg/cm}^2$ における強度比 σ/ρ'_0 を意味し、 β は拘束圧 ρ' によって変化する内部摩擦角と併積ひずみの関係である。すなはち、 $\beta = 1$ の場合 $\rho' = \rho'_0$ は線形関係にあるが、(3)と(4)は Mohr-Coulomb の破壊規準に一致する。

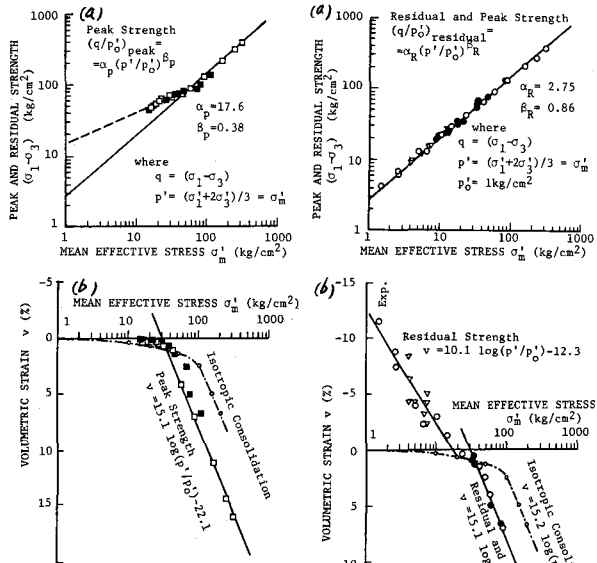


図-6. 最大強度

(a)応力状態 (b)平均有効応力-併積ひずみ

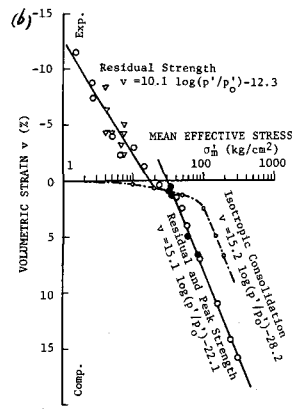


図-7. 残留強度

(a)応力状態 (b)平均有効応力-併積ひずみ

参考文献

- 赤井, 足立, 西: 堆積軟岩(多孔質軟岩)の弾・塑性挙動, 土木学会論文報告集, No.271, 1970, pp.83~95.
- 赤井, 足立, 西: 堆積軟岩(多孔質軟岩)の時間依存性と構成式, 土木学会論文報告集, No.282, 1979
- Hobbs, D.W.: A study of the behavior of broken rock under triaxial compression and its application to mine road way, Int. Rock Mech. Mining Sci., Vol. 3, 1966, pp.11~43.

STRENGTH CHARACTERISTICS AND FAILURE CRITERION OF
SOFT SEDIMENTARY ROCK

Toshihisa Adachi and Toyokazu Ogawa

Now in our country, so called soft rocks are distributed at the sites of such big civil engineering projects as Seikan tunnel and Honshu-Shikoku bridge constructions. In order to efficiently and successfully proceed those projects, it is immediate necessity to make clear the mechanical properties of such soft rocks as half solidified sedimentary rocks deposited in Miocene Epoch of Tertiary Period.

The objective of this study is to show the strength characteristics of soft rock and propose the new failure criterion for the material. For the purpose, triaxial tests have been conducted by using Ohya-stone(porous tuff) deposited in Tertiary Period as an ideal soft sedimentary rock.

Throughout this study, the following failure criterion for the material is proposed.

Peak Strength:

$$\begin{aligned} \left(\frac{q}{p'_0}\right)_{\text{peak}} &= \alpha_p \left(\frac{p'}{p'_0}\right)^{\beta_p} && \text{when } p' < \text{pre-historical pressure} \\ v_{\text{peak}} &= C_s \log\left(\frac{p'}{p'_0}\right) \end{aligned}$$

$$\begin{aligned} \left(\frac{q}{p'_0}\right)_{\text{peak}} &= \left(\frac{q}{p'_0}\right)_{\text{residual}} && \text{when } p' > \text{pre-historical pressure} \\ v_{\text{peak}} &= v_{\text{residual}} \end{aligned}$$

Residual Strength:

$$\begin{aligned} \left(\frac{q}{p'_0}\right)_{\text{residual}} &= \alpha_r \left(\frac{p'}{p'_0}\right)^{\beta_r} \\ v_{\text{residual}} &= C_r \log\left(\frac{p'}{p'_0}\right) - 12.3 \quad (\%) \quad \text{when } p' < \text{pre-historical pressure} \\ v_{\text{residual}} &= C_c \log\left(\frac{p'}{p'_0}\right) - 22.1 \quad (\%) \quad \text{when } p' > \text{pre-historical pressure} \end{aligned}$$

where

$$p' = (\sigma'_1 + 2\sigma'_3)/3 = \sigma'_m, \quad q = (\sigma'_1 - \sigma'_3)$$